

**ОБЪЕДИНЕННЫЙ  
ИНСТИТУТ  
ЯДЕРНЫХ  
ИССЛЕДОВАНИЙ  
ДУБНА**

**P2-88-104**

**С.В.Михайлов\*, А.В.Радюшкин**

**НЕЛОКАЛЬНОСТЬ КВАРКОВЫХ КОНДЕНСАТОВ  
И ВОЛНОВАЯ ФУНКЦИЯ ПИОНА В КХД  
Модельное рассмотрение**

Направлено в журнал "Ядерная физика"

---

\*Ростовский государственный университет,  
Ростов-на-Дону

Введение

Эта работа является прямым продолжением нашей статьи /1/, в которой был сформулирован общий метод построения КХД правила сумм (ПС) с нелокальными конденсатами и продемонстрирован пример таких ПС для волновой функции (ВФ) шюна при некоторых модельных предположениях о виде нелокальных распределений. В настоящей работе в разделе /2/ будут вычислены кварковые вакуумные средние (ВС) размерности 8, необходимые для конструирования на их основе более реалистических аналогов нелокальных ВС. А в разделе 3 будут построены и исследованы эти аназы.

Таким образом, эти разделы являются обоснованием и необходимым техническим расширением раздела 6 в /1/. В разделе 4 получены и обработаны правила сумм ПС для ВФ шюна с явным учётом  $A_1$ -резонанса и предлагается новый модельный вид волновой функции. Частные осмски на формулы работы /1/ помечаются в тексте цифрой 1 - (1....).

2. Вычисление вкладов вакуумных средних размерности 6 и 8  
а) ВС размерности 6

Модели функции  $f_{0,1,2,3}$  можно строить, используя кварковые ВС размерности 6 и 8 (см. раздел 6 в /1/). Рассмотрим сначала кварковые ВС размерности 6, следуя методу, предложенному в работе /2/.

При разложении НВС  $\langle \bar{q}(0) \hat{n} q(z) \rangle$  (см. (I.37)) в ряд Тейлора возникает ВС определенной лоренцевой и спинорной структуры, например

$$\langle \bar{q}_k (\nabla_\alpha \nabla_\beta \nabla_\gamma)_s q_m \rangle = i (g_{\alpha\beta} \gamma_\gamma + g_{\alpha\gamma} \gamma_\beta + g_{\beta\gamma} \gamma_\alpha) \frac{a_0}{4} \quad (I)$$

(Здесь и ниже  $\nabla_\alpha = \partial_\alpha + ig \hat{A}_\alpha$ , круглые скобки  $(\nabla_\alpha \nabla_\beta \nabla_\gamma)_s$  с индексом  $s$  означают симметричную по индексам часть тензора  $\nabla_\alpha \nabla_\beta \nabla_\gamma$ , что даёт для первого не исчезающего члена разложения (в киральном пределе)

$$\langle \bar{q} \hat{n} \frac{(z\nabla)^3}{3!} q \rangle = i (nz) \frac{z^2}{4} 2a_0, \quad a_0 = \frac{d_s \pi \langle \bar{q} q \rangle^2}{81} \quad (Ia)$$

Аналогично, при разложении НВС  $M_\mu (\tilde{M}_\mu) = \langle \bar{q}(0) \hat{n} (\gamma_5) \hat{A}_\mu(y) q(z) \rangle$  (калибровка Фока - Швингера /3/, см. формулу (I.3)) в нижней размерности появляются ВС следующих типов:

$$-\frac{(y^\nu y^\rho)}{3} \langle \bar{q} \hat{n} g \hat{G}_{\mu\nu;\rho} q \rangle = (y_\mu (ny) - n_\mu y^2) \frac{a_2}{3}, \quad (2)$$

$$a_2 = d_s \pi \langle \bar{q} q \rangle^2 \frac{4}{27}$$

и

$$-\frac{(y^\nu y^\rho)}{2} \langle \bar{q} \hat{n} g \hat{G}_{\mu\nu} \nabla_\rho q \rangle = (z_\mu (ny) - n_\mu (yz)) \frac{a_1}{2} \quad (3a)$$

$$-\frac{(y^\nu y^\rho)}{2} \langle \bar{q} \hat{n} g \hat{G}_{\mu\nu} \nabla_\rho q \rangle = -i \epsilon_{\mu\nu\rho\lambda} y^\nu z^\rho n^\lambda \frac{a_1}{2}, \quad (3b)$$

$$a_1 = -d_s \pi \langle \bar{q} q \rangle^2 \frac{2}{27}$$

ВС  $a_0, a_1, a_2$  были вычислены (см., например, /2/, а также Приложение) и определяют, как это следует из (I.37,40), нормировку функций  $f_0, f_1$  и  $f_3, f_2$ . ВС размерности 8 задают в нашем подходе ширину функций  $f_i$ .

б) ВС размерности 8, трилокальный конденсат

Разложение кварковых и глюонных полей в  $M_\mu (\tilde{M}_\mu)$  даёт четыре матричных элемента

$$-\frac{(y^\nu y^\rho y^\sigma y^\delta)}{5 \cdot 3!} \langle \bar{q} \hat{n} (\gamma_5) g \hat{G}_{\mu\nu;\alpha\beta\gamma} q \rangle; -\frac{(y^\nu y^\rho y^\sigma)}{4 \cdot 2!} \langle \bar{q} \hat{n} (\gamma_5) g \hat{G}_{\mu\nu;\beta\gamma} (z\nabla) q \rangle \quad (4)$$

$$-\frac{(y^\nu y^\rho)}{3} \langle \bar{q} \hat{n} (\gamma_5) g \hat{G}_{\mu\nu;\rho} \frac{(z\nabla)^2}{2} q \rangle; -\frac{y^\nu}{2} \langle \bar{q} \hat{n} (\gamma_5) g \hat{G}_{\mu\nu} \frac{(z\nabla)^3}{3!} q \rangle.$$

Выделяя в элементах (4) спинорную и лоренцеву структуру явно, получим представление для них в виде (слева для определенности записан второй элемент, у первого элемента в (4) отсутствует псевдотензорная часть)

$$\hat{M}_1 = \langle \bar{q}_e g \hat{G}_{\mu\nu;\alpha\beta\gamma} \nabla_\mu q \rangle = (P_{(\alpha\beta\gamma\nu)} \gamma_\mu - P_{(\alpha\beta\gamma\mu)} \gamma_\nu)_{mk} \frac{b_1}{4} - i \epsilon_{\mu\nu\lambda\alpha} (pp) (\gamma^\lambda \gamma^5)_{mk} \frac{b_1}{4}; \quad (5)$$

здесь  $P_{(p,pv)} = \beta_{1p} \beta_{pv} + \beta_{2p} \beta_{pv} + \beta_{3p} \beta_{pv}$  и

$$E_{MVA}(p) = \epsilon_{MVA} \beta_{pp} + \frac{2}{1} (\epsilon_{pVA} \beta_{pM} + \epsilon_{pVA} \beta_{pV}) \quad (5a)$$

Доказательство (5) выведено в Приложении. Подставив представление (5) в (4), найдем явные выражения для матричных элементов через  $\beta_i$ .  
 Вспомогательные функции  $f_i$  определяются соотношением (1.40). Воспользуемся формулами (2), (3a-d) и (6-9), нетрудно получить для  $f_i$  выражение (см. (1.40))

$$f_i = A_i + B_{(1)i} \frac{1}{z^2} + B_{(2)i} \frac{1}{z} + B_{(3)i} \frac{1}{(y-z)^2} \quad (6)$$

где значения коэффициентов  $A_i$  и  $B_{(j)i}$  представлены в таблице I.

Справедливы следующие представления соотношений в первом

$$\beta_i = \frac{0}{2} \left\{ \langle \bar{q} | \beta_{MVA} \beta_{pp} \rangle + \langle \bar{q} | \beta_{MVA} \beta_{pv} \rangle + \langle \bar{q} | \beta_{MVA} \beta_{VV} \rangle \right\} \quad (II)$$

Введем обозначения  $P_{(p,pd)} \beta_{pd} - P_{(MVA,pd)} \beta_{MVA,pd} = O_{(MVA,pd)}$ , тогда  $O_{(MVA,pd)} = 432$ . Справедливо представление (10)

$$Sp(\beta_{MVA}^p) = \langle \bar{q} | \beta_{MVA} \beta_{pp} \rangle = [P_{(p,pd)} \beta_{pd} - P_{(MVA,pd)} \beta_{MVA,pd}] \beta_{MVA}^p \quad (10)$$

Перейдем теперь к вычислению элементов  $\beta_i$  для определения матрицы  $M_{(MVA)}$ , используя представление (5)

1	$A_1$	$B_{(1)1}$	$B_{(2)1}$	$B_{(3)1}$
1	$\frac{2}{1} O$	$\beta_3 + \frac{3}{2} \beta_2$	$\beta_2 + \frac{3}{2} \beta_1$	$-\frac{3}{2} \beta_2$
2	$\frac{3}{1} O$	$\frac{5}{2} \beta_3 + \frac{5}{2} \beta_2$	$\frac{5}{2} \beta_2 + \frac{5}{2} \beta_1$	$-\frac{5}{2} \beta_1$
3	$\frac{2}{1} O$	$\beta_3 + \frac{2}{3} \beta_2$	$\beta_2 + \frac{2}{3} \beta_1$	$-\frac{2}{3} \beta_2$

Таблица I

Напомним, что корреляционные функции  $f_i$  определяются как коэффициенты при векторных структурах  $(z^2, (y-z))$ . Соответствие (см. определение (1.40)). Воспользуемся формулой (2), (3a-d) и (6-9), нетрудно получить для  $f_i$  выражение (см. (1.40))

части (II) всех операторов, приводящих к ВС  $\langle \bar{q} \nabla^2 q \rangle \langle \bar{q} q \rangle \sim \chi_q^2$ .  
При этом будем использовать уравнения движения (УД)

$$i \hat{\nabla} q \equiv i \gamma_\mu q^{i\mu} = 0 \quad (12a), \quad \hat{G}_{\mu\nu; \mu} = g \hat{J}_\nu \equiv g (\bar{q} t_a \gamma_\nu q) t^a, \quad (12b)$$

тождество Бянки для  $\hat{G}_{\mu\nu; \rho}$ .

$$\hat{G}_{\mu\nu; \rho} + \hat{G}_{\rho\mu; \nu} + \hat{G}_{\nu\rho; \mu} = 0, \quad (13)$$

трансляционную инвариантность вакуумных средних, гипотезу вакуумной доминантности (ГВД). Все прочие, оставшиеся после такого выделения ВС, будем называть неприводимыми.

Применив тождество <sup>3/</sup>,

$$\hat{G}_{\mu\nu; \rho\rho} = g (2i [\hat{G}_{\mu\rho}, \hat{G}_{\nu\rho}]_- + \hat{J}_{\nu; \mu} - \hat{J}_{\mu; \nu}), \quad (14)$$

$$\hat{G}_{\mu\nu; \alpha\rho} - \hat{G}_{\mu\nu; \rho\alpha} = ig [\hat{G}_{\mu\nu}, \hat{G}_{\alpha\rho}]_- \quad (15)$$

и УД (12) в правой части (II), получим

$$\begin{aligned} \beta_1 = \frac{2}{0^2} \left\{ -3g^2 \langle \bar{q} \gamma_\mu \hat{J}_{\mu; \rho} q^{i\rho} \rangle + 3ig^2 \langle \bar{q} \gamma_\mu [\hat{G}_{\mu\alpha}, \hat{G}_{\nu\alpha}]_- q^{i\nu} \rangle + \right. \\ \left. + 2g^2 \langle \bar{q} \gamma_\mu \hat{J}_{\nu; \mu} q^{i\nu} \rangle \right\}. \quad (16) \end{aligned}$$

Из трансляционной инвариантности ВС и ГВД следует представление для первого слагаемого в (16).

$$\langle \bar{q} \gamma_\mu \hat{J}_{\mu; \rho} q^{i\rho} \rangle = -\langle \bar{q} \gamma_\mu \hat{J}_\mu \nabla^2 q \rangle \approx \frac{4}{9} \langle \bar{q} q \rangle \langle \bar{q} \nabla^2 q \rangle. \quad (17)$$

Для последнего слагаемого в (16) при помощи УД и коммутационных соотношений

$$[\nabla_\rho, \nabla_\sigma]_- = ig \hat{G}_{\rho\sigma}, \quad [\nabla_\sigma, \hat{G}_{\rho\sigma}]_- = \hat{G}_{\rho\sigma; \sigma} = -g \hat{J}_\rho \quad (18)$$

получим следующую цепочку равенств

$$\begin{aligned} \langle \bar{q} \gamma_\mu \hat{J}_{\nu; \mu} q^{i\nu} \rangle &\equiv \langle \bar{q} \gamma_\mu [\nabla_\mu, \hat{J}_\nu]_- \nabla^\nu q \rangle = -\langle \bar{q} \gamma_\mu \hat{J}_\nu \nabla_\mu \nabla^\nu q \rangle = \\ &= -\langle \bar{q} \gamma_\mu \hat{J}_\nu \left[ \frac{i}{2} g \hat{G}_{\mu\nu} + \frac{g}{4} \nabla^2 + \{(\nabla_\mu \nabla_\nu)_S\} \right] q \rangle. \quad (19) \end{aligned}$$

Здесь двойные скобки  $\{(\dots)_S\}$  означают симметричную бесследовую часть тензора  $\nabla_\mu \nabla_\nu$ . Член  $\langle \bar{q} \gamma_\mu \hat{J}_\nu \{(\nabla_\mu \nabla_\nu)_S\} q \rangle$  явно не содержит эффектов, связанных со средней виртуальностью вакуумных кварков и является в этом смысле неприводимым элементом "базиса". Применив ГВД для первых двух слагаемых в (19),

$$g \langle \bar{q} \gamma_\mu \hat{J}_\nu \hat{G}_{\mu\nu} q \rangle \approx \frac{ig}{8} \langle \bar{q} (\sigma \hat{G}) q \rangle \langle \bar{q} q \rangle = \frac{i}{4} \langle \bar{q} \nabla^2 q \rangle \langle \bar{q} q \rangle, \quad (20)$$

окончательно получим для  $\langle \bar{q} \gamma_\mu \hat{J}_{\nu; \mu} q^{i\nu} \rangle$

$$\langle \bar{q} \gamma_\mu \hat{J}_{\nu; \mu} q^{i\nu} \rangle \approx \frac{17}{72} \langle \bar{q} \nabla^2 q \rangle \langle \bar{q} q \rangle - \langle \bar{q} \gamma_\mu \hat{J}_\nu \{(\nabla_\mu \nabla_\nu)_S\} q \rangle. \quad (21)$$

Подставив (17) и (21) в (16), приходим к выражению для  $\beta_1$

$$\begin{aligned} \beta_1 \approx \frac{2g^2}{0^2} \left\{ -\langle \bar{q} \nabla^2 q \rangle \langle \bar{q} q \rangle \frac{31}{36} - 2 \langle \bar{q} \gamma_\mu \hat{J}_\nu \{(\nabla_\mu \nabla_\nu)_S\} q \rangle + \right. \\ \left. + 3i \langle \bar{q} \gamma_\mu [\hat{G}_{\mu\alpha}, \hat{G}_{\nu\alpha}]_- q^{i\nu} \rangle \right\}. \quad (22) \end{aligned}$$

Аналогичные действия приводят к выражению для  $\beta_2$  (подобие формулы (II) для  $\beta_1$ )

$$\beta_2 = \frac{2g^2}{0^2} \left\{ \langle \bar{q} \gamma_\mu \hat{G}_{\mu\nu; \nu} \nabla^2 q \rangle + \langle \bar{q} \gamma_\mu \hat{G}_{\mu\nu; \rho} \nabla^\nu \nabla^\rho q \rangle + \langle \bar{q} \gamma_\mu \hat{G}_{\mu\nu; \rho} \nabla^\rho \nabla^\nu q \rangle \right\}. \quad (23)$$

Применив УД (12b), а затем приближение (17) (ГВД), немедленно получим

$$\beta_2 = \frac{2g^2}{0^2} \left\{ \frac{2}{3} \langle \bar{q} \nabla^2 q \rangle \langle \bar{q} q \rangle + 2 \langle \bar{q} \gamma_\mu \hat{G}_{\mu\nu; \rho} \{(\nabla^\nu \nabla^\rho)_S\} q \rangle \right\}. \quad (24)$$

Второе слагаемое в фигурных скобках в (24) является новым неприводимым элементом. Мы подробно рассмотрели пути вычислений и допускаемые приближения при определении ВС  $b_1, b_2$ . Принципиально таким же, хотя местами и более длинным путем ( $b_3$ ), приводятся вычисления ВС  $b_0$  и  $b_3$ . Результаты наших расчетов представлены в таблице 2.

в) ВС размерности 8, блоковый конденсат

Вторым несчезающим членом в разложении НВС

$\langle \bar{q}(0) \hat{n} q(z) \rangle$  (см. (I.37)) является элемент с пятью производными  $\langle \bar{q}(0) \hat{n} (\frac{z\nabla}{5!})^5 q \rangle$ . Рассмотрим симметричный по индексам матричный элемент

$$\langle \bar{q} \gamma_{\mu} (\nabla_{\mu_1} \dots \nabla_{\mu_5}) q \rangle = P_{(\mu_1, \dots, \mu_5)} i B_0, \quad (25)$$

где  $P_{(\mu_1, \dots, \mu_5)} = g_{\mu_1 \mu_1} g_{\mu_2 \mu_2} g_{\mu_3 \mu_3} g_{\mu_4 \mu_4} g_{\mu_5 \mu_5} +$  (перестановки индексов, всего 15 членов) и  $P^2 = 15 \cdot 192$ . Из (25) следует представление для  $B_0$ :

$$B_0 = -\frac{i}{P^2} \langle \bar{q} [\hat{\nabla}^2 \nabla^2 + \nabla_p \hat{\nabla}^p \nabla_q \nabla^q + \text{(перестановки индексов)}] q \rangle, \quad (26)$$

$$\langle \bar{q} \hat{n} (\frac{z\nabla}{5!})^5 q \rangle = (nz) \left(\frac{z^2}{4}\right)^2 2i B_0. \quad (27)$$

Вычисление  $B_0$  по формуле (26) не содержит принципиально новых моментов, хотя и весьма громоздко. Поэтому в табл. 2 мы приводим только результат вычислений в виде разложения по "базису" неприводимых ВС.

### 3. Построение реалистических аналогов

Результаты предыдущего раздела показывают, что в размерности 8 существует значительно большее разнообразие операторных структур, чем в размерности 5 (см. I раздел 6, (I.35)), где возникает лишь член  $\frac{1}{2} \langle \bar{q} \nabla^2 q \rangle$ . Так, при приведении исходных элементов  $b_j$  появляется еще 5 различных "неприводимых" ВС  $\langle \bar{q} \nabla^2 q \rangle \langle \bar{q} q \rangle \sim \lambda_q^2$  и не связанных непосредственно со средней виртуальностью вакуумных кварков (см. табл. 2). Попробуем все же оценить ширины  $1/c_i$  функций  $f_i$ , только исходя из величины вклада в  $c_i$  вакуумных средних  $\langle \bar{q} \nabla^2 q \rangle \langle \bar{q} q \rangle$ , характеризующих среднюю виртуальность. Записав выражения для  $f_i$  в форме (см. (I.40))

Таблица 2. Кварковые ВС размерности

Общий фактор	BC	коэф.				
		$b_0$	$b_1$	$b_2$	$b_3$	$B_0$
I/216	$\langle \bar{q} \nabla^2 q \rangle \langle \bar{q} q \rangle$	14/3	0	0	0	0
	$i \bar{q} \gamma_5 \nabla^2 q \langle \bar{q} q \rangle$	-31/36	3	-2	0	0
	$\langle \bar{q} \nabla^2 q \rangle \langle \bar{q} \gamma_5 q \rangle$	2/3	0	0	2	0
II/15 192	$i \bar{q} \gamma_5 \nabla^2 q \langle \bar{q} \gamma_5 q \rangle$	-99/48	-3	3/2	-3	-3/2
	$223/72$	223/72	-15	-5	5	-5

$$\tilde{f}_i = A_i \left( 1 + C_{(1)i} \frac{z^2}{4} + C_{(2)i} \frac{y^2}{4} + C_{(3)i} \frac{(y-z)^2}{4} \right), \quad (28)$$

где

$$C_{(j)i} = B_{(j)i} / A_i$$

с явно выделенными иерархиями, и, используя таблицы I и 2, получим следующие оценки для  $C_{(j)i}$  (см. табл. 3).

Таблица 3

i	Общий фактор	$A_i$	Общий фактор	$C_{(1)i}$	$C_{(2)i}$	$C_{(3)i}$
1		$-1/27$	$\lambda_q^2$	$53/288$	$-1/144$	$2/9$
2	$d_3 \pi \langle \bar{q} q \rangle^2$	$4/81$		$1/192$	$517/960$	$31/192$
3		$1/27$		$-1/32$	$19/72$	$1/6$

В случае функции  $\tilde{f}_0$  имеем

$$\tilde{f}_0 = 2A_0 \left( 1 + \frac{z^2}{4} C_0 + \dots \right) \frac{z^2}{4}, \quad (29)$$

$C_0 = B_0/A_0 = 0.35 \lambda_q^2$  и  $A_0 = d_3 \pi \langle \bar{q} q \rangle^2 / 81$ . Отметим, что вычисленное здесь  $C_0$  не сильно отличается от принятого в работе [1] значения  $C_0 = C_4 = 0.5 \lambda_q^2$ .

Перейдем к построению аназов для функций  $f_1 - f_3$ , основанных на величине  $\langle \bar{q} \nabla^2 q \rangle \langle \bar{q} q \rangle$  - вкладов. Для прояснения свойств трилокальных распределений

$$\tilde{f}_i = A_i \int \exp \left\{ \frac{z^2}{4} d_1 + \frac{y^2}{4} d_2 + \frac{(y-z)^2}{4} d_3 \right\} f_i(d_1, d_2, d_3) dd_1 dd_2 dd_3$$

рассмотрим прежде предельные случаи, когда они сводятся к известным биклокальным. При этом наряду с  $d_1 - d_3$  параметризацией удобно применять и "естественные"  $d$ -параметры линий  $\xi, \eta, \gamma$  (см. рис. 1).

$$1/\gamma = d_2 + d_3 + \frac{d_2 d_3}{d_1}; \quad 1/\eta = d_1 + d_2 + \frac{d_1 d_2}{d_3}; \quad 1/\xi = d_1 + d_3 + \frac{d_1 d_3}{d_2}. \quad (30)$$

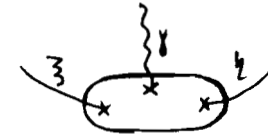


Рис. 1

Разрыву глюонной линии  $\gamma$  ( $\gamma = \infty, d_2 = d_3 = 0$ ) соответствует зависимость  $\tilde{f}$  лишь от  $z^2$ . Этот предельный случай уже был рассмотрен в разделе 6 в [1]. Ему соответствует аназ

$$f_i \rightarrow f_i^{(1)} = \delta(d_1 - \delta_i) \delta(d_2) \delta(d_3),$$

что приводит к дельтаобразным вкладам в ПС

$$\Delta \Phi_1(x) = \frac{3 N_q}{M^6} \bar{\Delta}_1 \delta'(\bar{\Delta}_1 - x) + x \rightarrow \bar{x};$$

$$\Delta \Phi_2(x) = -2 \frac{N_q}{M^6} x \delta'(\bar{\Delta}_2 - x) + x \rightarrow \bar{x}; \quad \Delta \Phi_3(x) = 3 \frac{N_q}{M^6} \delta(\bar{\Delta}_3 - x) + x \rightarrow \bar{x}. \quad (31)$$

$$\text{Здесь } \bar{\Delta}_i = 1 - \Delta_i, \quad \Delta_i = \delta_i / M^2 \quad \text{и} \quad N_q = d_3 \pi \frac{8}{81}.$$

Разрыв кварковой линии  $\xi$  ( $\xi = \infty, d_1 = d_3 = 0$ ) оставляет зависимость у  $\tilde{f}_i$  лишь переменной  $y^2$ . Следовательно, применим аназ

$$f_i \rightarrow f_i^{(2)} = \delta(d_1) \delta(d_2 - \delta_i) \delta(d_3), \quad (32)$$

где одно из кварковых полей взято в локальном пределе, см. рис. 2.



Рис. 2

Интегрирование формулы (32) в общих формулах раздела 5 в /I/ приводит к менее сингулярному результату, чем в предыдущем случае: дельта-образное поведение заменяется на ступеньку с шириной, пропорциональной виртуальности  $\delta_i$  вакуумных кварков и глюонов

$$\Delta \Phi_1(x) = 3 N_q \left\{ \frac{2x \theta(\Delta_1 > \bar{x})}{\Delta_1} + x^2 \left[ \frac{\theta(\Delta_1 > \bar{x})}{\Delta_1} \right]'_x \right\} + x \rightarrow \bar{x}, \quad (33a)$$

$$\Delta \Phi_2(x) = -2 N_q x \left\{ 2\bar{x} \frac{\theta(\Delta_2 > \bar{x})}{(\Delta_2)^2} \right\}'_x + x \rightarrow \bar{x}, \quad (33b)$$

$$\Delta \Phi_3(x) = 3 N_q \left\{ 2x \frac{\theta(\Delta_3 > \bar{x})}{\Delta_3} - x\bar{x} \left[ \frac{\theta(\Delta_3 > \bar{x})}{\Delta_3} \right]'_x \right\} + x \rightarrow \bar{x}. \quad (33в)$$

Отметим, что выражение  $\frac{\theta(\Delta > \bar{x})}{\Delta}$  при малых  $\Delta$  имитирует  $\delta(\bar{x})$ , так как  $\lim_{\Delta \rightarrow 0} \frac{\theta(\Delta > \bar{x})}{\Delta} = \delta(\bar{x})$ , аналогично  $2\bar{x} \frac{\theta(\Delta > \bar{x})}{(\Delta)^2} = \delta(\bar{x})$ . Так восстанавливается предельный случай в выражениях (33a, б, в).

Наконец, разрыв линии ( $\eta = \infty, d_1 = d_2 = 0$ ) ведет к учёту нелокальности только по  $(y-z)^2$  и анзацу

$$f_i \rightarrow f_i^{(3)} = \delta(d_1) \delta(d_2) \delta(d_3 - \delta_i). \quad (34)$$

Интегрирование последнего выражения в общих формулах работы /I/ дает тот же по форме результат, что и в предельном случае, так как эффекты нелокальности интегрируются здесь в нормировку. Это можно усмотреть прямо из графика рис. 3, соответствующего анзацу (34). Конечно,

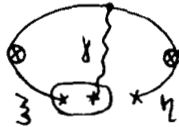


Рис. 3

анзацу, явно учитывающие нелокальность по всем трем аргументам, и ведут к наиболее сглаженным выражениям для  $\Delta \Phi_i$ , а это должно обеспечить и более быстрое уменьшение моментов  $\langle \sum N \rangle < N$ , чем в предельных случаях. Такой полный анзац можно интегрировать только численно. Здесь же учтем, что ширины функций  $f_i$  по различным аргумента существенно различны (см. коэф.  $C_i$ ). Поэтому для оценки

трилокальных вкладов в аналитической форме будем использовать общеканальные распределения по доминирующему  $C$ . Тогда  $\Delta \Phi_1$  разумно оценивать с помощью (31), а  $\Delta \Phi_2$  и  $\Delta \Phi_3$  из (33). В результате получим

$$\Delta \Phi_1 + \Delta \Phi_2 + \Delta \Phi_3 = \frac{N_q}{M^6} \left\{ 3\bar{\Delta}_1 \delta'(\bar{\Delta}_1 - x) - 2x \left[ 2\bar{x} \frac{\theta(\Delta_2 > \bar{x})}{(\Delta_2)^2} \right]'_x + 6x \frac{\theta(\Delta_3 > \bar{x})}{\Delta_3} - 3x\bar{x} \left[ \frac{\theta(\Delta_3 > \bar{x})}{\Delta_3} \right]'_x + x \rightarrow \bar{x} \right\}, \quad (35)$$

$$\Delta_1 = C_{(1)1} / M^2; \quad \Delta_2 = C_{(2)2} / M^2; \quad \Delta_3 = C_{(2)3} / M^2.$$

#### 4. Волновая функция пиона

Основываясь на результатах предыдущего раздела: формула (35), а также - разделов 6 и 7 в /I/, получим правую часть ПС в виде (см. общее выражение (I.50))

$$\frac{3}{2} \frac{M^2}{\pi^2} x\bar{x} \left( 1 + \frac{d_3}{\pi} \frac{d_F}{4} \left[ 5 - \frac{\pi^2}{3} + \ln^2(x/\bar{x}) \right] \right) + \frac{N_q}{M^4} \left\{ \frac{18 \theta(\Delta_4 > x)}{\bar{\Delta}_4 (\Delta_4)^2} \bar{x} (x + (\Delta_4 - x) \ln(\bar{x})) + x \delta'(\bar{\Delta}_4 - x) + 3\bar{\Delta}_1 \delta'(\bar{\Delta}_1 - x) - 2x \left[ 2\bar{x} \frac{\theta(\Delta_2 > \bar{x})}{(\Delta_2)^2} \right]'_x + 6x \frac{\theta(\Delta_3 > \bar{x})}{\Delta_3} - 3x\bar{x} \left[ \frac{\theta(\Delta_3 > \bar{x})}{\Delta_3} \right]'_x + x \rightarrow \bar{x} \right\}. \quad (36)$$

Учтем вклад в спектральную плотность  $\rho(s)$  и от  $A_1$ -резонанса, аппроксимировав его дельта-функцией, т.е.

$$\rho(s) = \rho_{\pi} (s) + \rho_{A_1} (s) + \rho_{\text{cont}} (s), \quad (37)$$

$$\rho_{A_1} (s) = \int_{A_1}^2 \Phi_{A_1} (x) \delta(s - M_{A_1}^2);$$

здесь  $\rho_{A_1}$  записано в "x-представлении",  $\Phi_{A_1}(x)$  - волновая функция  $A_1$ -резонанса,  $M_{A_1} = 1,275$  ГэВ - его масса. Тогда левая часть ПС принимает вид

$$\int_0^{\infty} \exp(-s/M^2) \rho(s) ds = \int_{\pi}^2 \Phi_{\pi}(x) + \int_{A_1}^2 \Phi_{A_1}(x) \exp(-M_{A_1}^2/M^2) + \rho_{\text{cont}}(x, s_0). \quad (38)$$

Интегрируя формулы (36) и (38), установим ПС в представлении  $\bar{z}$  - моментов (ср. с (I.52))

$$\int_{\pi}^2 \langle \bar{z}^N \rangle_{\pi} + f_{A_1}^2 \langle \bar{z}^N \rangle_{A_1} \exp(-M_{A_1}^2/M^2) = \frac{3}{4} \pi^2 \frac{M^2}{(N+1)(N+3)} \left(1 + \frac{d_s}{\pi} A_N\right).$$

$$(1 - \exp(-S_0/M^2)) + \frac{N_0}{2M^4} \left\{ \frac{g}{(\Delta_4)^2} \left[ F(N+1, N+3; \chi_4) - \frac{1}{2\Delta_4} \left( F(N+1, N+2; \chi_4) - \right. \right. \right. \quad (39)$$

$$\left. \left. - F(N+3, N+4; \chi_4) \right) \right] + 4 \left[ \chi_0^N \left(1 + 2N \frac{\bar{\Delta}_0}{\delta_0}\right) + 6N \bar{\Delta}_1 \chi_1^{(N+1)} + \right. \\ \left. \frac{4}{\Delta_2} \chi_2^N \bar{\Delta}_2 - \frac{1}{(\Delta_2)^2} Q(N+1, N+2; \chi_2) + \frac{1.5}{\Delta_3} Q(N+1, N+2; \chi_3) - 3 \chi_3^N \bar{\Delta}_3 \right] \\ \left. + \frac{d_s \pi \langle G_{\mu\nu}^a G_a^{\mu\nu} \rangle}{12M^2} \chi_4^N \right\}$$

Здесь

$$F(M, L; \chi) = \frac{1-\chi^M}{M} - \frac{1-\chi^L}{L}; \quad Q(M, L; \chi) = \frac{1-\chi^M}{M} + \frac{1-\chi^L}{L};$$

$$\chi_i = 1 - 2\Delta_i.$$

В правой части (39) модельным образом (как и в работе /I/) учтен вклад глюонов. Отметим, что одной из особенностей предлагаемых ПС является ограничение на минимальное значение борелевского параметра  $M^2$ , следующее из самих ПС, а не накладываемые процедурой обработки. Из очевидного условия (см. также формулу (I.36))  $\chi_i \geq 0$  следует  $M^2 \geq \max(2C_{ij}) = 0,54 \text{ ГэВ}^2$  (для  $\chi_q^2$  здесь использована максимальная оценка  $0,5 \text{ ГэВ}^2$ ). Обработка ПС (39) проводилась стандартным путем (см., например, /4/): сначала, из дочерних правил сумм  $d/d(1/M^2)$  (ПС) определяем значения моментов  $\int_{A_1}^2 \langle \bar{z}^N \rangle_{A_1}$ ; подставив последние в (39), извлекаем значения моментов  $\int_{\pi}^2 \langle \bar{z}^N \rangle_{\pi}$ , исходя из максимальной стабильности по  $M^2$  правой части (39) для интервала  $S_0$ ,  $2,1 \text{ ГэВ}^2 \approx S_0 \approx 1,7 \text{ ГэВ}^2$ . В результате найдем

$$\langle \bar{z}^0 \rangle_{\pi} = 1 \quad \langle \bar{z}^2 \rangle_{\pi} = 0,32 \pm 0,03 \quad \langle \bar{z}^4 \rangle_{\pi} = 0,2_{-0,02}^{+0,03} \quad \langle \bar{z}^6 \rangle_{\pi} = 0,15 \pm 0,02 \quad (40)$$

$$S_0 \approx 1,7 \text{ ГэВ}^2 \quad S_0 \approx 1,9 \text{ ГэВ}^2 \quad S_0 \approx 1,9 \text{ ГэВ}^2 \quad S_0 \approx 2 \text{ ГэВ}^2$$

При изменении  $M^2$  в пределах от  $0,7 - 0,9 \text{ ГэВ}^2$  до  $2,6 \text{ ГэВ}^2$  ПС (39) без учёта вклада  $A_1$ -резонанса отличаются худшей стабильностью

по  $M^2$  и приводят к несколько меньшим значениям для моментов  $\langle \bar{z}^0 \rangle_{\pi} = 1 \quad \langle \bar{z}^2 \rangle_{\pi} = 0,29 \quad \langle \bar{z}^4 \rangle_{\pi} = 0,19 - 0,2 \quad \langle \bar{z}^6 \rangle_{\pi} = 0,14 - 0,15$

$$S_0 \approx 0,75 \text{ ГэВ}^2, S_0 \approx 0,8 \text{ ГэВ}^2, S_0 \approx 1,2 \text{ ГэВ}^2, S_0 \approx 1,6 \text{ ГэВ}^2.$$

Отметим, что значение второго момента  $\langle \bar{z}^2 \rangle_{\pi} \approx 0,32$  в (40) оказалось близким к среднему значению  $\langle \bar{z}^2 \rangle_L = 0,34 \pm 0,17^{1/5}$ , полученному недавно численным расчетом на решетке. Указанный в (40) интервал ошибок для  $\langle \bar{z}^N \rangle$  соответствует изменению масштаба обратных шири  $C_i$  в  $0,75 - 1,5$  раза, что в принципе допускается используемыми у нас приближениями и неопределенностью задания  $\chi_q^2$ . Конечно, с увеличением  $C_i$  значения моментов уменьшаются. Оцененные нами в разделе 2 значения  $C_i$  меньше, чем принятый в демонстрационных ПС работы /I/ общий масштаб  $\chi_q^2/2$ , а используемые анзацы (32) приводят к более медленному падению моментов с  $N$  (см. (33 б, в)), чем в случае дельта-функций (3I) (см. /I/). Поэтому значения моментов (40) лежат между предельным случаем Черняка и Житницкого /6/ и примером работы /I/. Напомним, однако, что при получении (40) мы использовали, по сути, глобальные анзацы трилокальных распределений, учитывающие лишь эффект наиболее резкого убывания по одному из аргументов функций  $f_i$ . Более полный учёт нелокальности должен приводить к уменьшению значений  $\bar{z}$ -моментов. Поэтому величины в (40) нужно рассматривать скорее как верхние границы для моментов. Последние хорошо аппроксимируются формулой

$$\sup \langle \bar{z}^N \rangle \approx \frac{1}{N+1} \quad (41)$$

функция, буквально удовлетворяющая (41), имеет вид  $\varphi_{\pi}(x) = 1$ , что на самом деле означает, что истинная  $\varphi_{\pi}(x)$  близка к const в средней области  $x$ . Один из возможных вариантов, удовлетворяющий (41) и условиям на границах, есть

$$\varphi_{\pi}^{\text{mod}}(x) = \frac{(x\bar{x})^a}{B(1+a, 1/2)} \quad (2a+1)$$

при достаточно малом значении  $a$ .

### Заключение

В работе развивается метод КХД ИС, основанный на нелокальных ВС, предложенный в работе /1/. Вычислены кварковые ВС размерности 8. На основании этих расчетов строятся и анализируются анзацы для функций распределения  $\hat{q}$ , связанных с бислокальными и трилокальными ВС. По вкладу  $BC \langle \bar{q} \nabla^2 q \rangle \langle \bar{q} q \rangle$ , характеризующего среднюю виртуальность вакуумных кварков, проведена оценка ширины функций  $f_i$ .

Из обработки ИС с учётом  $A_1$ -резонанса получены оценки (40) (сверху) для первых моментов волновой функции. Эти оценки ниже значений  $\xi$ -моментов Черняка и Китницкого /6/, но выше, чем в нашем модельном примере в /1/ (см. конец раздела 8). Волновая функция, соответствующая (40), близка к const в средней области значений  $x$ .

Мы благодарны А.Р. и И.Р. Китницким за обсуждение ряда аспектов работы и А. Умникову за помощь в расчётах.

### Приложение

Кратко рассмотрим здесь вычисление элемента  $a_0$ , определяющего нормировку функции  $\hat{q}$ . Умножив обе части равенства (I) на  $\chi_{km}^M$ , получим

$$\langle \bar{q} \chi^M (\nabla_\alpha \nabla_\beta \nabla_\gamma) q \rangle = i P_{(\alpha\beta\gamma M)} a_0, \quad (II)$$

где тензор  $P_{(\alpha\beta\gamma M)}$  определен в (5а) и  $P^2 \equiv P_{(\alpha\beta\gamma M)} P^{(\alpha\beta\gamma M)} = 72$ .

Используя уравнения движения (УД) (I2а), приходим к равенству для  $a_0$ ,

$$a_0 = -i \frac{P^{(\alpha\beta\gamma M)}}{P^2} \langle \bar{q} \chi_M \nabla_\alpha \nabla_\beta \nabla_\gamma q \rangle = -i \langle \bar{q} \frac{\nabla_\alpha \hat{\nabla}^\alpha \nabla^4 q}{72} \rangle. \quad (II2)$$

Применяя к (II2) соотношение коммутации

$$[\nabla_\rho, \nabla_\sigma]_- = ig \hat{G}_{\rho\sigma} \quad ; \quad [\nabla_\sigma, \hat{G}_{\rho\sigma}]_- = \hat{G}_{\rho\sigma;\sigma} = -g \hat{J}_\rho$$

и УД (I2б), найдем окончательное выражение для  $a_0$ ,

$$a_0 = \frac{g^2}{144} \langle J_M^a J_a^M \rangle \simeq \frac{\alpha_s \pi}{81} \langle \bar{q} q \rangle^2. \quad (II3)$$

На последнем этапе мы применили гипотезу вакуумной доминантности.

Перейдем к выявлению структуры матричных элементов размерности 8 (см. формулу (5)). Наиболее общее выражение для элемента  $\hat{M}_1$  принимает форму

$$\hat{M}_1 \equiv \langle \bar{q}_\rho \hat{G}_{\mu\nu;(\rho\beta)} \nabla_\alpha q_\mu \rangle = (Q_{(\rho\beta\alpha\nu)} \gamma_\mu - Q_{(\rho\beta\alpha\mu)} \gamma_\nu)_{m\ell} + L_{(\mu\nu\rho\beta)} (\chi_\alpha)_{m\ell} - i \epsilon_{\mu\nu\alpha\lambda} (\gamma^\lambda \gamma^5)_{m\ell} g_{\rho\beta} \frac{E_1}{4} + i (\epsilon_{\rho\mu\alpha\lambda} g_{\rho\nu} - \epsilon_{\rho\nu\alpha\lambda} g_{\rho\mu}) (\gamma^\lambda \gamma^5)_{m\ell} \frac{E_2}{4} + i (\epsilon_{\beta\mu\alpha\lambda} g_{\rho\nu} - \epsilon_{\beta\nu\alpha\lambda} g_{\rho\mu}) (\gamma^\lambda \gamma^5)_{m\ell} \frac{E_3}{4}. \quad (IV)$$

$$\text{Здесь } L_{(\mu\nu\rho\beta)} = (g_{\mu\rho} g_{\nu\beta} - g_{\nu\rho} g_{\mu\beta}) \frac{L}{4} \quad \text{и}$$

$$Q_{(\rho\beta\alpha\nu)} = g_{\rho\beta} g_{\alpha\nu} \frac{B_1}{4} + g_{\nu\beta} g_{\alpha\rho} \frac{C_1}{4} + g_{\alpha\beta} g_{\nu\rho} \frac{D_1}{4}.$$

Из симметрии по индексам  $\rho$  и  $\beta$  сразу следует  $L = 0$ . Воспользовавшись уравнениями движения (I2а)

$$\chi_{nm}^d \hat{M}_1 = 0 \quad (IV5)$$

и соотношением  $\epsilon_{\mu\nu\alpha\lambda} \gamma^\lambda \gamma^5 = i (\gamma_\mu \gamma_\nu - \gamma_\nu \gamma_\mu)$ , получим из (IV5)

$$(B_1 - E_1) (\gamma_\nu \gamma_\mu - \gamma_\mu \gamma_\nu) g_{\rho\beta} + (C_1 - D_1) (g_{\rho\mu} g_{\rho\nu} - g_{\rho\nu} g_{\rho\mu}) + i (\sigma_{\rho\mu} g_{\rho\nu} - \sigma_{\rho\nu} g_{\rho\mu}) (C_1 - 2E_1) + i (\sigma_{\rho\mu} g_{\rho\nu} - \sigma_{\rho\nu} g_{\rho\mu}) (D_1 - 2E_3). \quad (IV6)$$

Следовательно,  $B_1 = E_1, C_1 = D_1 = 2E_2 = 2E_3$ . Применяем теперь уравнение движения для дуального псевдотензора  $\hat{G}_{\rho\sigma}$ :

$$\hat{G}_{\rho\sigma;\gamma} \equiv g_{\rho\gamma} \epsilon^{\gamma\sigma\mu\nu} \hat{G}_{\mu\nu;\rho} = 0, \quad (IV7)$$

$$g_{\rho\gamma} \epsilon^{\gamma\sigma\mu\nu} \hat{M}_1 = 0. \quad (IV8)$$

Из последнего равенства (IV8), используя для сверток тензоров выражение типа

$$\epsilon^{\mu\nu\alpha\beta} \epsilon_{\alpha\rho}^{\gamma\sigma} = 2 (g^{\nu\rho} g^{\mu\sigma} - g^{\mu\rho} g^{\nu\sigma}) \quad \text{и т.п.,}$$

верудно получить, что  $B_1 = C_1$ , что и дает формулу (5) для  $M_1$ . Структуры прочих матричных элементов  $\hat{M}_i$  получаются применением к общим выражениям типа (П4) уравнений движения (I2), (П7) и учётом свойств симметрии по индексам.

#### Литература

1. Михайлов С.В., Радюшкин А.В., Препринт ОИЯИ, P2-88-103, Дубна, 1987.
2. Ioffe B.L., Smil a A.V. Nucl. Phys., B, 1983, 216, 373.
3. Nikolaev S.N., Radyuskin A.V. Nucl. Phys., B, 1983, 213, 285.
4. Литницкий А.Р., Литницкий И.Р., Черняк В.Д. ЯФ, 1983, 38, 1074.
5. Martinelli and Sachraida C.T. - Preprint CERN-TH 4637/87, Geneva.
6. Chernyak V.L., Zhitnitsky A.R. Nucl. Phys., B, 1982, 201, 492.

Рукопись поступила в издательский отдел  
8 февраля 1988 года.

Михайлов С.В., Радюшкин А.В.

P2-88-104

Нелокальность кварковых конденсатов  
и волновая функция пиона в КХД.  
Модельное рассмотрение

Вычислены некоторые кварковые вакуумные средние размерности 8. На их основе строятся анализы для билочальных  $\langle q(0)\gamma_\mu q(z) \rangle$  и трилокальных  $\langle q(0)\gamma_\mu \hat{A}_\nu(y)q(z) \rangle$  кварковых конденсатов, введенных в нашей предыдущей работе [1]. Получены правила сумм и найдены новые ограничения на первые моменты волновой функции пиона /с учетом  $A_1$ -резонанса/. Обсуждается форма волновой функции.

Работа выполнена в Лаборатории теоретической физики ОИЯИ.

**Препринт Объединенного института ядерных исследований. Дубна 1988**

Перевод О.С.Виноградовой

Mikhailov S.V., Radyushkin A.V.  
Nonlocality of Quark Condensates  
and Pion Wave Function in QCD.  
Model Consideration

P2-88-104

The ansatzes for bilocal  $\langle q(0)\gamma_\mu q(z) \rangle$  and three-local  $\langle q(0)\gamma_\mu \hat{A}_\nu(y)q(z) \rangle$  quark condensates are build based on computation of some VEV 8 dimension. The new sum rules are obtained, and new constraints for first moments of the pion wave function  $\Phi_\pi(x)$  taking into account  $A_1$ -resonance) are found. A possible form of the wave function is discussed.

The investigation has been performed at the Laboratory of Theoretical Physics, JINR.

**Preprint of the Joint Institute for Nuclear Research. Dubna 1988**